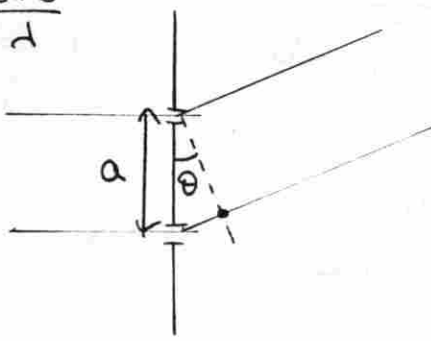


(10) $\varepsilon = 0$

$$\textcircled{a} \quad \varphi = \frac{2\pi \delta}{\lambda}$$



$$\delta = a \sin \theta - a \sin \theta_0$$

$$\varphi = \frac{2\pi a}{\lambda} [\sin \theta - \sin \theta_0] \quad \text{if } \theta_0 = 0.$$

$$\Rightarrow \boxed{\varphi = \frac{2\pi a}{\lambda} \sin \theta}$$

$$\textcircled{b} \quad \boxed{J(\theta) = A_0 \sum_{k=0}^{N-1} \exp(ik\varphi)}$$

Maximum de lumière pour $\varphi = 2k\pi$ \Rightarrow

$$\sin \theta_k = k \cdot \frac{\lambda}{a}$$

(20) $\varepsilon \neq 0$

$$\textcircled{a} \quad J(\theta) = A_0 \sum_{k=0}^{N-1} e^{ik\varphi_k} \quad \varphi_k = \frac{2\pi}{\lambda} \left[ka + \varepsilon \sin \left(\frac{2\pi k}{P} \right) \right] \sin \theta$$

$$\Rightarrow J(\theta) = A_0 \sum_{k=0}^{N-1} e^{ik\varphi} \times \exp \left(\frac{2\pi}{\lambda} \varepsilon \sin \theta \sin \frac{2\pi k}{P} \right)$$

puisque ε est petit: $\exp \left(\frac{2\pi}{\lambda} \varepsilon \sin \theta \sin \frac{2\pi k}{P} \right) \approx 1 + \varepsilon \cdot \frac{2\pi}{\lambda} \sin \theta \sin \frac{2\pi k}{P}$

$$\approx 1 + \varepsilon \frac{\pi}{\lambda} \sin \theta \left(e^{\frac{2\pi k}{P}} - e^{-\frac{2\pi k}{P}} \right).$$

$$\Rightarrow J(\theta) = A_0 \sum_{k=0}^{N-1} e^{ik\varphi} + \varepsilon \frac{\pi}{\lambda} \sin \theta A_0 \sum_{k=0}^{N-1} e^{ik\left(\varphi + \frac{2\pi}{P}\right)} - \varepsilon \frac{\pi}{\lambda} \sin \theta A_0 \sum_{k=0}^{N-1} e^{ik\left(\varphi - \frac{2\pi}{P}\right)}$$

$$\text{et } \frac{\pi \sin \theta}{\lambda} = \frac{\varphi}{2a}$$

(b) Pour chaque raie $\varphi = 2k\pi$, on a aussi 2 raies satellites (2)
 $\varphi + \frac{2\pi}{P} = 2k\pi$ et $\varphi - \frac{2\pi}{P} = 2k\pi$ correspondant aux valeurs de
 θ qui rendent maximal le 2° ou le 3° terme.

$$\left\{ \begin{array}{l} \varphi = 2k\pi \\ \varphi = 2k\pi - \frac{2\pi}{P} \\ \varphi = 2k\pi + \frac{2\pi}{P} \end{array} \right. \Rightarrow \left\{ \begin{array}{l} \sin \theta_K = K \cdot \frac{d}{a} \\ \theta'_K = \arcsin \left[\left(K - \frac{1}{P} \right) \frac{d}{a} \right] \\ \theta''_K = \arcsin \left[\left(K + \frac{1}{P} \right) \frac{d}{a} \right]. \end{array} \right.$$

Les deux satellites sont bien moins intenses que la plus forte.

(30)

(a) $\sin \theta''_K - \sin \theta'_K = 2 \sin \frac{\theta''_K - \theta'_K}{2} \cos \frac{\theta'_K + \theta''_K}{2} = \frac{2d}{ap} = 2 \frac{\sin \theta_K}{kp}$

$2 \sin \frac{\Delta \theta_K}{2} \cos \theta_K$

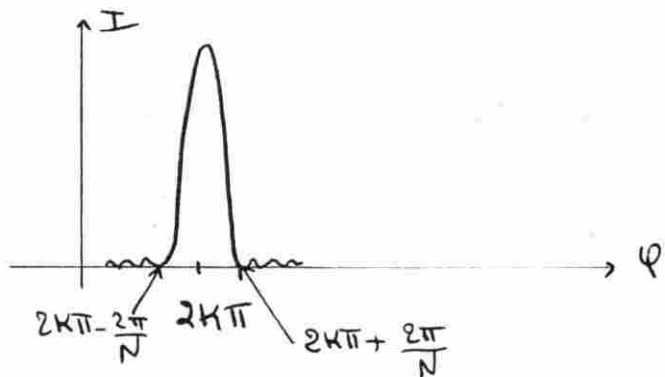
$\Rightarrow \Delta \theta_K \approx \frac{2 \tan \theta_K}{kp}$

(b) * Pour la raie principale: $I(\theta) = N A_0 \cdot \frac{1 - e^{iN\varphi}}{1 - e^{i\varphi}}$

$\Rightarrow I(\theta) = N^2 A_0^2 \left[\frac{\sin N\varphi/2}{N \sin \varphi/2} \right]^2$

$\Rightarrow I(\theta) = I_0 \left[\frac{\sin (N\varphi/2)}{N \sin \varphi/2} \right]^2$

Largure angulaire:



$$\Rightarrow \Delta\varphi = \frac{4\pi}{N}$$

or $\varphi = \frac{2\pi a}{\lambda} \sin \theta \Rightarrow \Delta\varphi = \frac{2\pi a}{\lambda} \cos \theta \Delta\theta$

$$\Rightarrow \Delta\theta_K = \frac{2d}{a N \cos \theta_K}$$

Largure angulaire de la raie principale d'ordre K.

*) Raisons satellites: on peut procéder de même en remplaçant φ par $\varphi \pm \frac{2\pi}{P}$ et obtient la même largeur angulaire

c) Les raisons satellites sont séparées de la raie normale où l'angle angulaire $\Delta\theta_K$ entre raie principale et 1 raie satellite est supérieur à $\delta\theta_K/2$ pour une raie soit $\Delta\theta_K > \delta\theta_K$. donc si $N > P$.

$$y = \varepsilon^2 \frac{\pi^2}{\lambda^2} \sin^2 \theta \quad \text{avec } \sin \theta = K \cdot \frac{\lambda}{a} \text{ cela donne :}$$

$$y = K^2 \frac{\pi^2 \varepsilon^2}{a^2} \quad \ll 1$$

$$(50) \quad N = nl = 12\ 000 \quad a = \frac{1}{n} = 2,5 \mu m$$

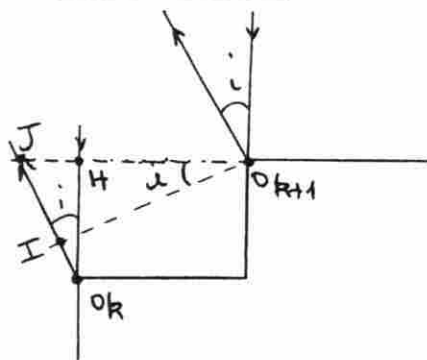
avec les relations :

$$\left\{ \begin{array}{l} \theta_K = \arcsin \frac{K\lambda}{a} \\ \delta\theta_K = \frac{2 \tan \theta_K}{K\lambda} \\ \Delta\theta_K = \frac{2 \tan \theta_K}{K N} \end{array} \right.$$

on obtient pour les 2 spectres :

$$K=1: \quad \theta_K = 12^\circ 37' \quad \delta\theta_K = 7,7'' \quad \Delta\theta_K = 2' 34''$$

$$K=2: \quad \theta_K = 25^\circ 54' \quad \delta\theta_K = 8,3'' \quad \Delta\theta_K = 2' 47''$$



(10)

$$\delta = HO_k + O_k I = e + O_k I$$

$$JO_k = \frac{e}{\cos i}$$

$$IJ = JO_{k+1} \sin i$$

$$\begin{aligned} JO_{k+1} &= JH + HO_{k+1} \\ &= etani + b \end{aligned}$$

$$\text{et } IO_k = JO_k - IJ = \frac{e}{\cos i} - (etani + b) \sin i$$

$$\text{D'où } \delta = \frac{e}{\cos i} - (etani + b) \sin i + e.$$

$$\Rightarrow \delta = e(1 + \cos i) - b \sin i$$

Avec la relation des réseaux démontrée dans le cours :

$$\Sigma(i) = \underbrace{\Sigma \operatorname{sinc}^2 \frac{\pi b \sin i}{\lambda}}_m \left[\underbrace{\frac{\sin \frac{m \pi \delta}{\lambda}}{m \sin \frac{\pi \delta}{\lambda}}}_n \right]^2$$

diffraction
par la largeur b interférence
 à n ordres.

(20) Maximum d'ordre k: $\delta = k \lambda$ pour $i=0$, cela donne: $2e = k \lambda$

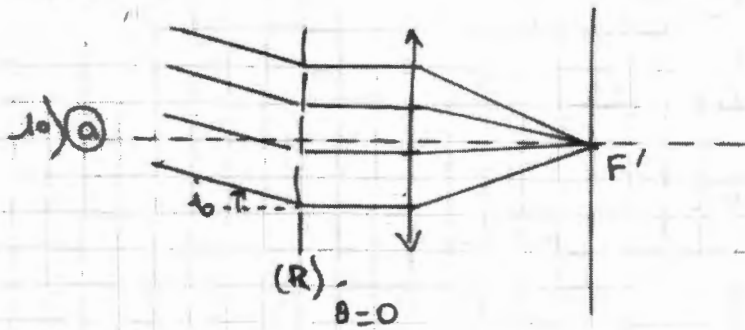
pour cette valeur de k: $\operatorname{sinc}^2 \frac{\pi b \sin i}{\lambda} = 1$ ($i=0$) .

pour les valeurs $k-1, \dots, k+1, \dots$: Les max. sont distants de $\frac{\lambda}{b}$ [$2e - b \sin i = (k \pm 1) \lambda \Rightarrow i = \pm \frac{\lambda}{b}$], pour ces valeurs le terme de diffraction s'annule.

\Rightarrow il n'y a de la ^{seconde} pour la direction $i=0$, ordre k.

$$k = \frac{2e}{\lambda} = 4000$$

Exercice 1



jaco.

- ④ a) à l'ordre $k=1$: $\sin i_0 = -\text{Arc sin} \left(\frac{1}{a} \right) \approx 6,8^\circ$
 $200 \text{ t/mm} \Rightarrow a = 5 \mu\text{m}$.

2) a) on observe à chaque ordre les images de la source pour chaque coulour.

- ⑤ si on garde $\sin i = \sin i_0 + k \frac{\lambda}{a} = (k-1) \frac{\lambda}{a}$

$$\sin i = \sin i_0 + k \frac{\lambda}{a} = (k-1) \frac{\lambda}{a}$$

$$\text{on doit avoir } |\sin i| \leq 1 \text{ d'où } \left| (k-1) \frac{\lambda}{a} \right| \leq 1$$

$$\Leftrightarrow |k-1| \leq \frac{a}{\lambda} = 8,33$$

$$\Leftrightarrow -8,33 \leq k-1 \leq 8,33$$

$$\Leftrightarrow -7,33 \leq k \leq 9,33$$

sont $k \in [-7; 9]$ soit 17 ordres.

En réalité, le champ d'interférences est limité par la diffraction (par chaque motif de largeur ϵ)

largeur du champ (en angle) : $\Delta i = 2 \frac{\lambda}{\epsilon}$

Sur DE, ζ diminue lorsque β_0 croît, ce qui explique la faible vitesse de $\beta = \beta_0$. ⑤

Lorsque, partant de l'état E, on diminue $\beta_0(q^*)$, il n'y a qu'un point d'intersection tant que $q < q_2$ et le système décrivent l'arc DE. Pour $q_2 < q < q_1$, il y a 3 intersections et le système choisit la valeur élevée de ζ pour continuité \Rightarrow arc DF.

Pour $q > q_1$: plus qu'une intersection possible, correspondant à ζ faible (arc AB) \Rightarrow discontinuité en $q = q_1$.

c) Pour un système à qui on impose une valeur de β_0 donnée, il y a deux pts de gâté (bistable) correspondant à une faible et une grande valeur de β_2 , suivant que le système a été soumis à une échauffement fort ou faible avant d'atteindre la valeur donnée β_0 .

Ainsi, le système garde en mémoire une information binaire
$$\begin{cases} \text{faible} \Rightarrow \zeta \text{ faible} & 0 \\ \text{fort} \Rightarrow \zeta \text{ fort} & 1. \end{cases}$$

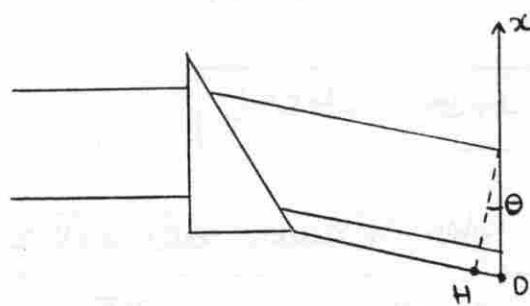
Principe de l'holographie

⑩ Onde plane \Rightarrow surface d'onde = plan et amplitude constante dans un plan d'onde.

(Σ_0) est une onde plane, (Σ_p) aussi.

$$\textcircled{20} \quad \theta = (n-1) A$$

③



$$\Phi_0(x) = -\frac{2\pi\delta_0(x)}{\lambda}$$

avec $\delta = \Theta H = x \sin \theta$

$$\Rightarrow \Phi_0(x) = -\frac{2\pi x \sin \theta}{\lambda}$$

avec $\sin \theta \neq \theta = (n-1) A$

④

a(x) dépend de x donc (Σ) n'est pas une onde plane.

b) Si (Σ) est seule, l'éclairage en M est : $E_\Sigma(k) = a^2(x)$
ou perd alors l'information sur la phase donc sur le relief
de l'objet ob. (on a alors une simple photographie).

⑤ Interférences entre (Σ) et (Σ_p) :

a) on peut faire l'approximation scalaire.

b) amplitude : $a(k) = a(x) e^{j\phi(x)} + a_0 e^{j\phi_0(x)}$

$$\Rightarrow E(k) = a^2(x) + a_0^2 + 2a_0 a(x) \cos(\phi(x) - \phi_0(x))$$

$$\textcircled{60} \quad t(x) = [E(x)]^{-\gamma/2}$$

$$= a_0^{-\gamma} \left[1 + \frac{2a(x)}{a_0} \cos(\phi - \phi_0) + \left(\frac{a(x)}{a_0} \right)^2 \right]^{-\gamma/2}$$

au 1^{er} ordre en $\frac{a}{a_0}$:

$$t(x) \approx a_0^{-\gamma} \left[1 - \gamma \frac{a(x)}{a_0} \cos(\phi - \phi_0) \right]$$

$$\textcircled{a} \quad \omega(\vec{u}) = K \int_{-a}^a \int_{-b}^b x(x) e^{-\frac{2j\pi}{\lambda} (\alpha x + \beta y)} dx dy$$

(70)

$$\text{alors } \omega(\vec{u}) = K a_0^{-\sigma} \left[\int_{-a}^a \int_{-b}^b e^{\frac{2j\pi}{\lambda} (\alpha x + \beta y)} dx dy \right.$$

$$- \frac{\sigma}{2} \int_{-a}^a \int_{-b}^b \frac{a(x)}{a_0} e^{\frac{2j\pi}{\lambda} (\alpha - (n-1)\Delta)x} e^{-j\phi(x)} e^{\frac{2j\pi}{\lambda} y} dx dy$$

$$\left. - \frac{\sigma}{2} \int_{-a}^a \int_{-b}^b \frac{a(x)}{a_0} e^{\frac{2j\pi}{\lambda} (\alpha + (n-1)\Delta)x} e^{j\phi(x)} e^{\frac{2j\pi}{\lambda} y} dx dy \right]$$

(b) Si on suppose $a(x) = a_1$, est ω indépendant de x :

$$I_1 = 2a_1 \cdot 2b \operatorname{sinc} \frac{2\pi a_1 a}{\lambda} \operatorname{sinc} \frac{2\pi \beta b}{\lambda}$$

$$I_2 = \frac{a_1}{a_0} \cdot 2b \operatorname{sinc} \frac{2\pi \beta b}{\lambda} \int_{-a}^a e^{\frac{2j\pi}{\lambda} (\alpha - (n-1)\Delta)x} e^{-j\phi(x)} dx$$

$$I_3 = \frac{a_1}{a_0} 2b \operatorname{sinc} \frac{2\pi \beta b}{\lambda} \int_{-a}^a e^{\frac{2j\pi}{\lambda} (\alpha + (n-1)\Delta)x} e^{j\phi(x)} dx.$$

A la différence du (40) b), l'amplitude et l'intensité dans la direction \vec{u} dépendent de $\phi(x)$ donc l'hologramme permettra de voir le relief de l'objet ob.

au voisinage des directions $\theta = (n-1)\Delta$ et $-(n-1)\Delta$ on a:

$$I_2 \approx \frac{a_1}{a_0} 2b \operatorname{sinc} \frac{2\pi \beta b}{\lambda} \int_{-a}^a e^{-j\phi(x)} dx$$

$$I_3 \approx \frac{a_1}{a_0} 2b \operatorname{sinc} \frac{2\pi \beta b}{\lambda} \int_{-a}^a e^{j\phi(x)} dx$$

$$\Rightarrow I_2 + I_3 = \frac{a_1}{a_0} 2b \operatorname{sinc} \frac{2\pi \beta b}{\lambda} \int_{-a}^a 2 \cos \phi(x) dx$$

on a donc:

$$\omega(\vec{u}) = K a_0^{-\sigma} 2b \operatorname{sinc} \frac{2\pi \beta b}{\lambda} \left[2a \operatorname{sinc} \frac{2\pi a_1 a}{\lambda} - \frac{2a_1}{a_0} \int_{-a}^a \cos \phi(x) dx \right]$$

Texture permettant de reconstruire le relief de ob
en éclairant l'hologramme.

(10) Fabry-Pérot

$$\underline{a_k} = \underline{a_{k-1}} (\sqrt{R})^2 e^{-j\phi}$$

$$\Rightarrow \underline{a_k} = \underline{a_0} (R e^{-j\phi})^k = A_0 (1-R) [R e^{-j\phi}]^k.$$

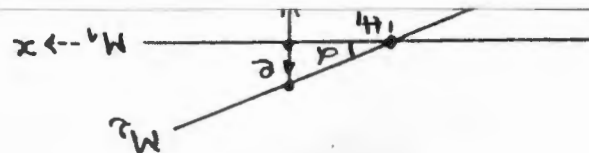
Le rapport des éclaircements des 2 vagues transmises est $R^2 = 0,64$
ce qui indique qu'on se limite à des 2 ordres.

$$\underline{a} = \sum_{k=1}^N \underline{a_k} \quad \text{or l'amplitude des termes } \underline{a_k} \quad k > N \text{ est négligeable donc (pour } i \neq 0\text{)}:$$

$$\underline{a} \approx \sum_{k=1}^{\infty} \underline{a_k} \quad (\text{pour } i=0, \text{ il y a une infinité d'ordres qui ne sont pas pris en compte})$$

Pour $i \neq 0$, le nombre d'ondes est limité par la largeur de la lame.

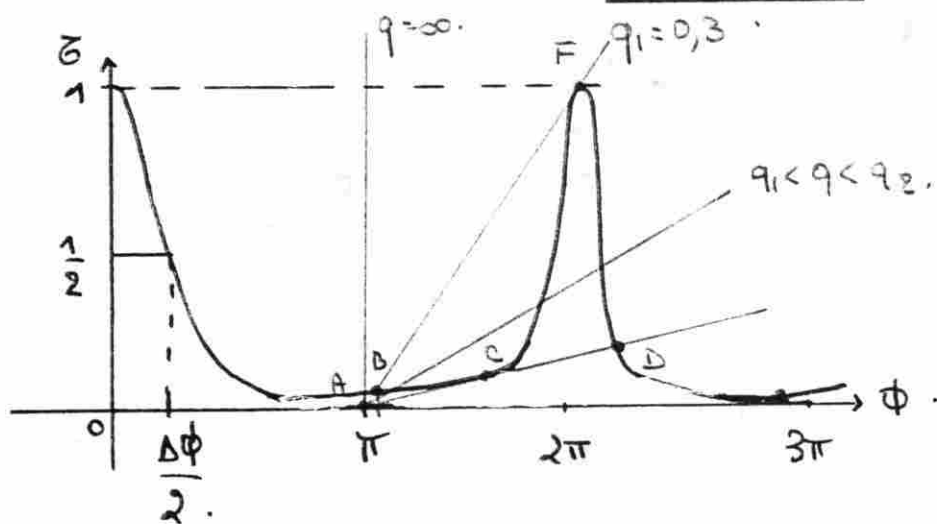
$$\pi x \tau \approx \theta \ell = \varphi$$



$$(b) \underline{a}(k) = \sum_{k=0}^{\infty} (1-R) (Re^{-jk\phi})^k A_0 = \frac{(1-R) A_0}{1-R e^{-j\phi}} \quad (4)$$

$$\underline{\epsilon}(k) = |\underline{a}|^2 = \frac{(1-R)^2 A_0^2}{1+R^2 - 2R \cos \phi}$$

$$\zeta = \frac{\underline{\epsilon}(k)}{\underline{\epsilon}(0)} = \frac{(1-R)^2}{(1-R)^2 + 4R \sin^2 \frac{\phi}{2}} = \frac{1}{1 + F \sin^2 \frac{\phi}{2}} \quad \text{avec } F = \frac{4R}{(1-R)^2} = 80$$



On suppose $\Delta\phi$ faible a priori: $\sin^2 \frac{\Delta\phi}{2} \approx \frac{\Delta\phi^2}{4}$

$$\text{Donc: } \frac{1}{\zeta} = \frac{1}{1 + F \frac{\Delta\phi^2}{4}} \Rightarrow \Delta\phi = \frac{2}{\sqrt{F}} = 0,22 \text{ rad} (\approx 3\% \text{ de } 2\pi) \ll 2\pi.$$

D'où la finesse des anneaux: $F = \pi \sqrt{F} = 28$

On obtient alors des anneaux très fins se détachant très nettement sur fond sombre. Les positions des anneaux et les mesures sont alors très précis (\neq dispositif à 2 ondes).

20 Réseaux optiques

(a) Éclairé sous incidence normale $n=0$.

$$\text{avec } \text{réfractrice } n: \quad \phi = \frac{2n\epsilon \cdot 2\pi}{d} \quad m = m_0 + \beta \Sigma$$

La valeur $m_0 = \frac{\pi}{2}$ a pour seul intérêt de simplifier les calculs et d'être proche de la valeur 1,5 de l'indice des solides.

$$\Rightarrow \phi = \frac{4\pi n_0 e}{d_0} + \frac{4\pi \beta e}{d_0} \varepsilon.$$

avec $n_0 = \frac{\pi}{2}$ et $d_0 = 4n_0 e$, il vient : $\phi = \pi + \frac{\pi \beta}{n_0} \varepsilon$

soit : $\phi = \pi + 2\beta \varepsilon$.

puis $G(\phi) = \frac{\varepsilon}{\varepsilon_0} = \frac{\phi - \pi}{2\beta \varepsilon_0}$

et on a encore $|G(\phi)| = \frac{1}{1 + 80 \sin^2 \frac{\phi}{2}}$

Donc ε correspond à ϕ intersection des 2 courbes : la $G(\phi)$ précédente et la droite $G = q(\phi - \pi)$

$$q = \frac{1}{2\varepsilon_0 \beta}.$$

L'intersection, (ordonnée) fournit G donc ε par $\varepsilon = \varepsilon_0 G$.

⑥

Pour $\varepsilon_0 = 0$: $q \rightarrow \infty$ et un seul point de fct $\phi = \pi$

si $\varepsilon > 0$: $q \downarrow$ et tant que q n'atteint pas la valeur critique $q = q_1 = 0,3$, il y a un seul point d'intersection qui assure la continuité (donc correspondant à une faible valeur de G) - G reste \propto constante ce qui correspond à la portion AB

si $\varepsilon >$ encore: $q < q_1$ - il y a 3 intersections possibles et par continuité, on choisir G le + petit - G augmente légèrement donc $\beta \varepsilon$ aussi \Rightarrow portion BC.

enc: $q = q_2$ il n'y a plus qu'un point de fct correspondant à une faible valeur de G . ($q_2 = 0,015$)

\Rightarrow arc DE

Lorsque q passe à la valeur q_2 , le système impose une discontinuité de ε

Sur DE, ζ diminue lorsque E_0 croît, ce qui explique la (5)
faible vitesse de $E = E_0 \zeta$.

Lorsque, partant de l'état E, on diminue $E_0(q^*)$, il n'y a qu'un point d'intersection tant que $q < q_2$ et le système décrète l'arc DE. Pour $q_2 < q < q_1$, il y a 3 intersections et le système choisit la valeur élevée de ζ par continuité \Rightarrow arc DF.

Pour $q > q_1$: plus qu'une intersection possible, correspondant à ζ faible (arc AB) \Rightarrow discontinuité en $q = q_1$.

(c) Pour un système à qui on impose une valeur de βE_0 donnée, il y a deux pts de gâté (bistable) correspondant à une faible et une grande valeur de βE , suivant que le système a été soumis à une éclairage fort ou faible avant d'atteindre la valeur donnée βE_0 .

Ainsi, le système garde en mémoire une information binaire
 $\left\{ \begin{array}{l} E_0 \text{ faible} \Rightarrow \zeta \text{ faible} \\ E_0 \text{ fort} \Rightarrow \zeta \text{ fort} \end{array} \right. \begin{array}{l} 0 \\ 1 \end{array}$.

Système analogique électronique : comparateur à hystérisis

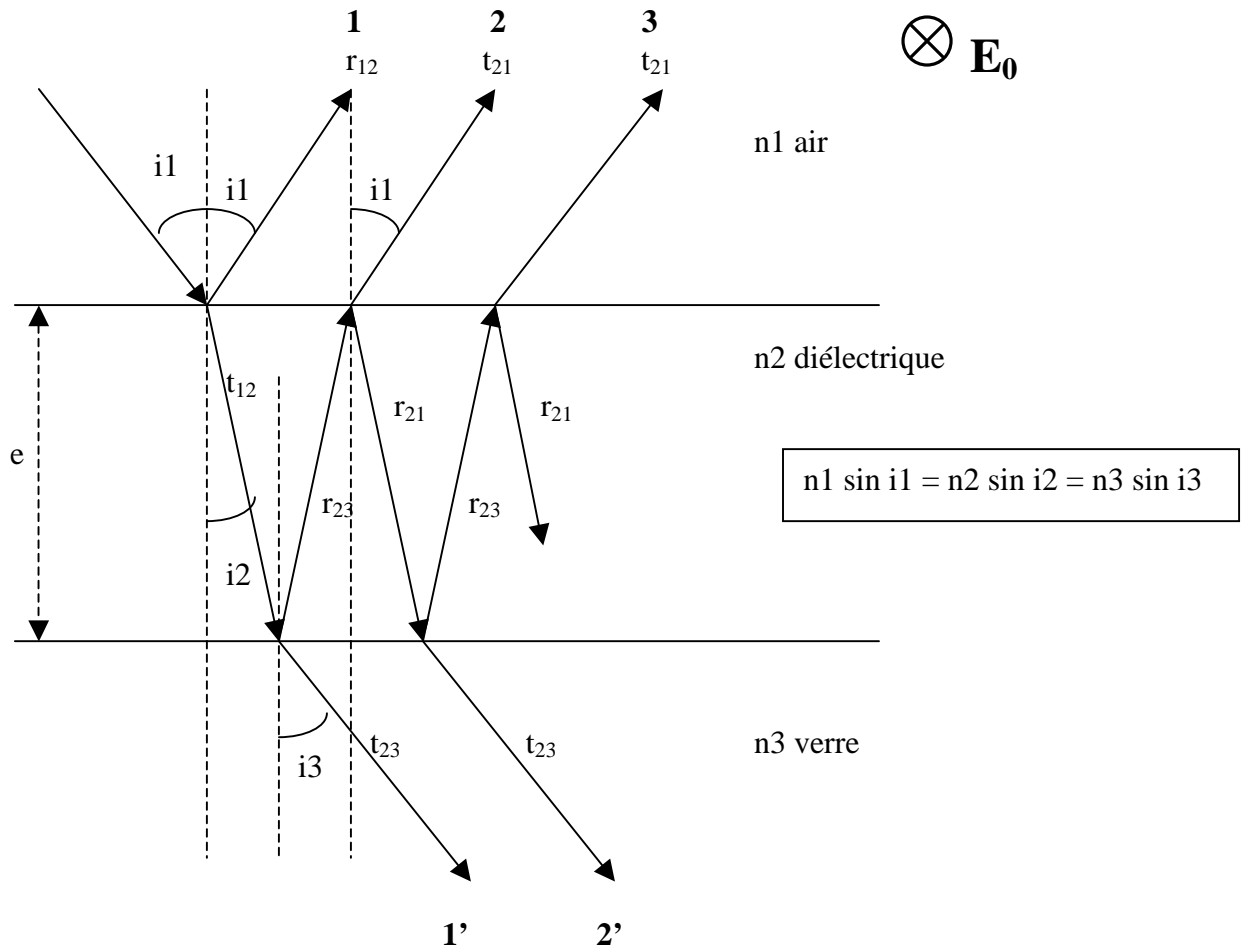
Couche anti reflets

I - Position du problème

La clarification consiste à déposer sur le verre une couche anti reflets qui fonctionne par interférences destructives pour la réflexion.

II - Principe

On dépose sur du verre d'indice n_3 une couche fine diélectrique d'indice n_2 .



Le déphasage entre les rayons réfléchis 1-2, 2-3, ... et transmis 1'-2', 2'-3', ... est égal à :

$$\delta = (4\pi/\lambda) n_2 \cos i_2$$

Soit r_{ij} et t_{ij} les coefficients de réflexion et transmission du milieu i vers le milieu j en supposant le champ électrique \mathbf{E}_0 incident perpendiculaire au plan d'incidence :

$$r_{12} = (n_1 \cos i_1 - n_2 \cos i_2) / (n_1 \cos i_1 + n_2 \cos i_2)$$

$$r_{21} = (n_2 \cos i_2 - n_1 \cos i_1) / (n_1 \cos i_1 + n_2 \cos i_2) = -r_{12}$$

$$r_{23} = (n_2 \cos i_2 - n_3 \cos i_3) / (n_2 \cos i_2 + n_3 \cos i_3)$$

$$t_{12} = 2 n_1 \cos i_1 / (n_1 \cos i_1 + n_2 \cos i_2)$$

$$t_{21} = 2 n_2 \cos i_2 / (n_1 \cos i_1 + n_2 \cos i_2)$$

$$t_{23} = 2 n_2 \cos i_2 / (n_3 \cos i_3 + n_2 \cos i_2)$$

Champ réfléchi:

$$\text{On a } E_r = E_0 [r_{12} + t_{12} r_{23} t_{21} e^{i\delta} (1 + r_{21} r_{23} e^{i\delta} + (r_{21} r_{23})^2 e^{i2\delta} + (r_{21} r_{23})^3 e^{i3\delta} + \dots)]$$

Il y a dans le second terme une progression géométrique de premier terme 1 et de raison $r_{21} r_{23} e^{i\delta}$ de module < 1, donc convergente vers 0. On en déduit :

$$E_r = E_0 [r_{12} + (t_{12} r_{23} t_{21} e^{i\delta}) / (1 - r_{21} r_{23} e^{i\delta})]$$

Champ transmis:

$$\text{On a } E_t = E_0 t_{12} t_{23} (1 + r_{21} r_{23} e^{i\delta} + (r_{21} r_{23})^2 e^{i2\delta} + (r_{21} r_{23})^3 e^{i3\delta} + \dots)$$

$$\text{Soit } E_t = E_0 t_{12} t_{23} / (1 - r_{21} r_{23} e^{i\delta})$$

Intensités

Les intensités réfléchies et transmises sont données par $I_r = E_r E_r^*$ et par $I_t = E_t E_t^*$

$$I_r = I_0 [r_{12}^2 + ((t_{12} r_{23} t_{21})^2 + 2 r_{12} r_{23} t_{12} t_{21} (\cos \delta - r_{12} r_{23})) / ((1 - r_{21} r_{23})^2 + 4 r_{21} r_{23} \sin^2(\delta/2))]$$

$$I_t = I_0 (t_{12} t_{23})^2 / ((1 - r_{21} r_{23})^2 + 4 r_{21} r_{23} \sin^2(\delta/2))$$

En incidence normale,

$$r_{12} = (n_1 - n_2) / (n_1 + n_2)$$

$$r_{21} = (n_2 - n_1) / (n_1 + n_2) = -r_{12}$$

$$r_{23} = (n_2 - n_3) / (n_2 + n_3)$$

$$t_{12} = 2 n_1 / (n_1 + n_2)$$

$$t_{21} = 2 n_2 / (n_1 + n_2)$$

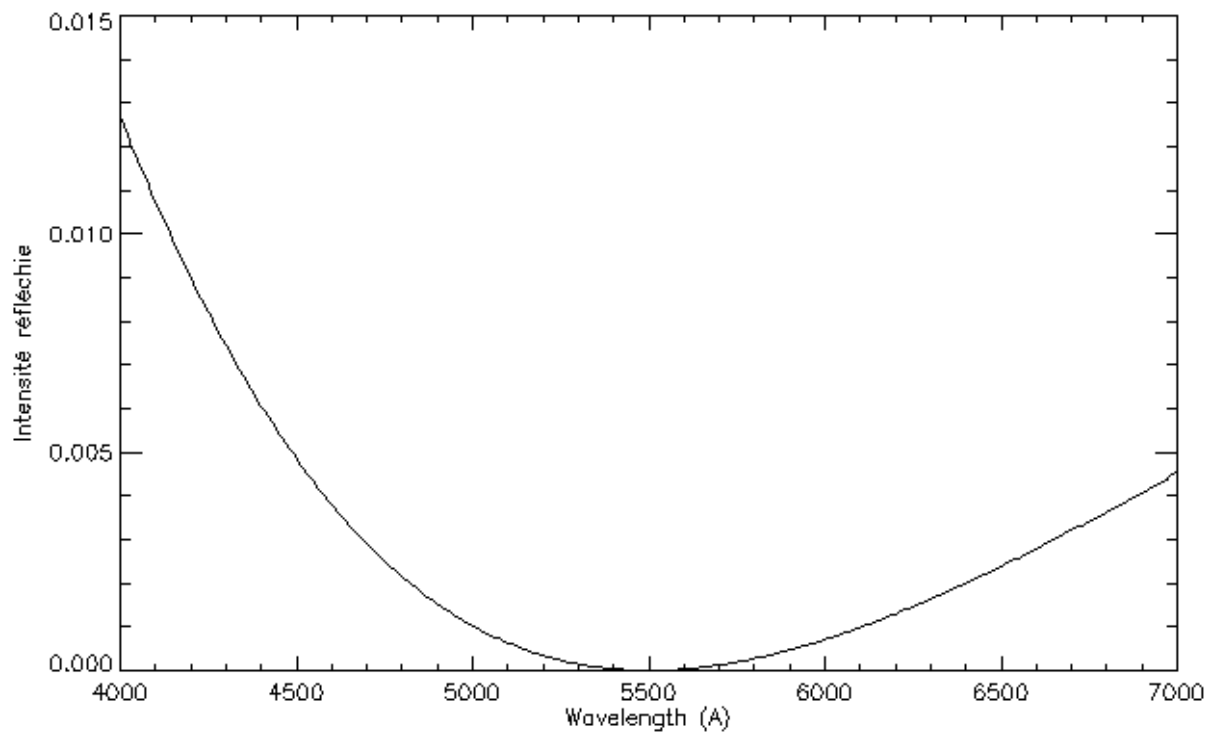
$$t_{23} = 2 n_2 / (n_3 + n_2)$$

Il n'y a pas de réflexion si interférence destructive, soit si $\delta = \pi$ ce qui donne la relation :

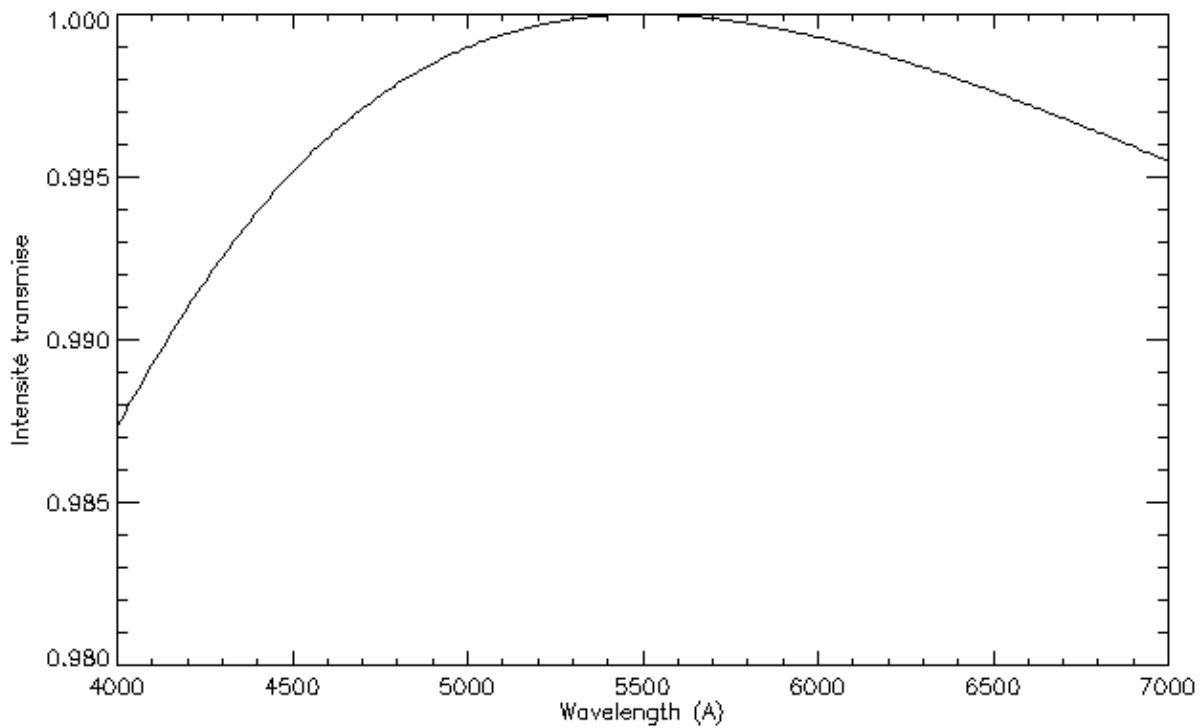
$$e = \lambda / (4 n_2)$$

Dans ce cas, $E_r = 0$ entraîne $n_2 = (n_1 n_3)^{1/2}$

On a tracé ci dessous, pour $n_1 = 1$ (air) et $n_3 = 1.5$ (verre) les intensités réfléchies et transmises par une **couche quart d'onde** d'épaisseur $e = \lambda_0 / (4 (n_1 n_3)^{1/2})$, pour $\lambda_0 = 550$ nm. La couche n'est anti reflet que pour la seule longueur d'onde λ_0 . Elle remonte dans le rouge et le bleu, c'est pourquoi les optiques traitées ont une apparence pourpre.



Intensité réfléchie en fonction de la longueur d'onde (pour comparaison, elle est de 0.04 pour le verre non traité anti reflet)



Intensité transmise en fonction de la longueur d'onde